

Построение D -оптимальных планов для модели Кобба-Дугласа

Арзамасцев Святослав, группа 15.Б04-ММ

Санкт-Петербургский государственный университет
Математико-механический факультет
Кафедра статистического моделирования

Научный руководитель: к.ф.-м.н., доцент Шпилев П.В.
Рецензент: д.ф.-м.н., профессор Невзоров В.Б.



Санкт-Петербург
2019г.

Пусть результаты эксперимента описываются регрессионной моделью:

$$y_j = \eta(t_j, \theta) + \epsilon_j, \quad j = 1, \dots, N,$$

- $\eta(t_j, \theta)$ — вещественная функция известная с точностью до параметров $\theta = (\theta_0, \dots, \theta_m)^T$, описывающая зависимость между условиями эксперимента и результатами,
- t_1, \dots, t_N — условия проведения эксперимента — элементы множества планирования χ ,
- χ — фиксированное множество, наделенное структурой компактного топологического пространства,
- $\epsilon_1, \dots, \epsilon_N$ — случайные величины, характеризующие ошибки наблюдений.

Целью эксперимента является оценивание параметров $\theta_0, \dots, \theta_m$ или функций от этих параметров. На точность оценок влияет метод оценивания и выбор точек в которых проводятся измерения (t_1, \dots, t_N) .

- Условия проведения измерений можно записать в виде таблицы, называемой планом эксперимента:

$$\xi = \begin{pmatrix} t_1 & \dots & t_n \\ \omega_1 & \dots & \omega_n \end{pmatrix}, t_i \neq t_j \text{ при } i \neq j, \omega_i \geq 0, \sum \omega_i = 1,$$

- n – число попарно различных точек в плане, а $m + 1$ – количество параметров модели,
- существует два типа оптимальных планов: насыщенный ($m + 1 = n$) и избыточный ($m + 1 < n$).

- В работе изучается проблема влияния гомотетии и сдвига области планирования на число оптимальных точек плана при фиксированных значениях параметров регрессионной модели.
- Рассматривается производственная функция Кобба-Дугласа — модель, используемая в микроэкономике и показывающая зависимость объёма производства от создающих его факторов — труда и капитала. Функция имеет вид:

$$\eta(x, \theta) = \theta_0 \exp(-\theta_1 x_1 - \theta_2 x_2), \quad 0 \leq x_{1,2} \leq b_{1,2}, \quad \text{где } b_{1,2} \in \mathbb{R}$$

- Задачей исследования являлось построить D -оптимальные планы и определить как они изменяются в зависимости от значений параметров и выбора области планирования.

- Информационная матрица:

$$M(\xi) = \sum_{i=1}^n \omega_i f(x_i) f^T(x_i)$$

- Критерий D -оптимальности имеет вид

$$\log \det M(\xi) \rightarrow \sup_{\xi \in \Xi}$$

или

$$\log \det M(\xi)^{-1} \rightarrow \inf_{\xi \in \Xi},$$

где Ξ - множество непрерывных планов, сосредоточенных в точках с ненулевыми весовыми коэффициентами

Теорема эквивалентности (Кифер-Вольфовиц) [Ермаков, 1987]

Если множество информационных матриц M компактно, то следующие утверждения эквивалентны:

(a) $\xi^* = \arg \max_{\xi \in \Xi} \det M(\xi)$, т.е. план ξ^* D -оптимален;

(b) $\max_{x \in X} d(x, \xi^*) = m + 1$,

где $d(x, \xi^*) = f^T(x)M(\xi^*)^{-1}f(x)$ (экстремальная функция).

Замечание

Информационные матрицы всех планов, удовлетворяющих одному из двух указанных утверждений, совпадают между собой. В точках x_i этих планов $d(x_i, \xi^*) = m + 1$.

Теорема 2

Пусть ξ^* – локально D -оптимальный план, $\lambda_1 = b_1\theta_1$ и $\lambda_2 = b_2\theta_2$ и $(\lambda_1, \lambda_2) \in \Lambda$ – множество 3-точечных планов, тогда:

$$\xi^* = \begin{pmatrix} (0; 0) & (\frac{1}{\lambda_1}; 0) & (0; \frac{1}{\lambda_2}) \\ 1/3 & 1/3 & 1/3 \end{pmatrix}, \text{ при } 1 \leq \lambda_2 \leq \lambda_1, \quad (1)$$

$$\xi^* = \begin{pmatrix} (0; 0) & (\frac{1}{\lambda_1}; 0) & (0; 1) \\ 1/3 & 1/3 & 1/3 \end{pmatrix}, \text{ при } \lambda_2 \leq 1 \leq \lambda_1, \quad (2)$$

$$\xi^* = \begin{pmatrix} (0; 0) & (1; 0) & (0; 1) \\ 1/3 & 1/3 & 1/3 \end{pmatrix}, \text{ при } \lambda_2 \leq \lambda_1 \leq 1, \quad (3)$$

Для случая (1) множество Λ определено следующим образом:

$$\Lambda = \{(\lambda_1, \lambda_2) : 1 \leq \lambda_1, 1 \leq \lambda_2 \leq \lambda_1\}.$$

Теорема 2 (продолжение)

Для случая (2) множество Λ определено следующим образом:

$$\Lambda = \{(\lambda_1, \lambda_2) : 1 \leq \lambda_1, g(1) \leq \lambda_2 \leq 1\},$$

Для случая (3) множество Λ определено следующим образом:

$$\Lambda = \{(\lambda_1, \lambda_2) : \frac{1}{2} \log(\sqrt{2} + 1) \leq \lambda_1 \leq 1, g(\lambda_1) \leq \lambda_2 \leq \lambda_1\},$$

где $g(\lambda_1)$ имеет следующий вид:

$$g(\lambda_1) = \begin{cases} \frac{\log \frac{1+e^{2\lambda_1}}{-1+e^{2\lambda_1}}}{2}, & \frac{\log(1+\sqrt{2})}{2} \leq \lambda_1 \leq \frac{1}{2}W(-2e^{-2}) + 1, \\ d, & \frac{1}{2}W(-2e^{-2}) + 1 \leq \lambda_1 \leq 1, \end{cases}$$

$$d = \frac{1}{2} \log\left(-\frac{W(-2e^{-2})(W(-2e^{-2}) + 2)(e^{2\lambda_1} + 1)}{4\lambda_1^2}\right).$$

Оптимальность планов (1) – (3) проверяется непосредственно по теореме эквивалентности. В соответствии с ней, план ξ является оптимальным, если экстремальная функция плана удовлетворяет определенным условиям.

- В каждом случае вычисляется экстремальная функция.
- Вводится дополнительное уравнение о равенстве производной экстремальной функции нулю.
- Затем выражается зависимость точек оптимального плана от значений параметров λ_i , где $i = 1, 2$.

График экстремальной функции

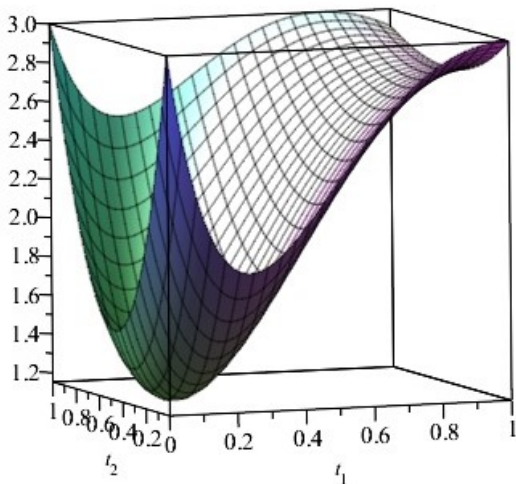


Рис.: График экстремальной функции для случая (1) с 4-ой вершиной в точке $(t, 1)$, где $t = \frac{W(-2e^{-2})+2}{2}$, $\lambda_1 = \lambda_2 = 1$

Следствие

ξ^* – локально D -оптимальный план, если для $(\lambda_1, \lambda_2) \in \Lambda$, где $\Lambda = \{(\lambda_1, \lambda_2) \in \mathbb{R}^2 : \# \text{supp}(\xi^*) = 3\}$ план ξ^* имеет вид:

$$\xi^* = \begin{pmatrix} (a; a) & (a + \frac{1}{\lambda_1}; a) & (a; a + \frac{1}{\lambda_2}) \\ 1/3 & 1/3 & 1/3 \end{pmatrix}, \text{ при } 1 \leq \lambda_2 \leq \lambda_1, \quad (4)$$

$$\xi^* = \begin{pmatrix} (a; a) & (a + \frac{1}{\lambda_1}; a) & (a; a + 1) \\ 1/3 & 1/3 & 1/3 \end{pmatrix}, \text{ при } \lambda_2 \leq 1 \leq \lambda_1, \quad (5)$$

$$\xi^* = \begin{pmatrix} (a; a) & (a + 1; a) & (a; a + 1) \\ 1/3 & 1/3 & 1/3 \end{pmatrix}, \text{ при } \lambda_2 \leq \lambda_1 \leq 1. \quad (6)$$

Для случая (4) множество Λ определено следующим образом:

$$\Lambda = \{(\lambda_1, \lambda_2) : 1 \leq \lambda_1, 1 \leq \lambda_2 \leq \lambda_1\}.$$

Следствие (продолжение)

Для случая (5) множество Λ определено следующим образом:

$$\Lambda = \{(\lambda_1, \lambda_2) : 1 \leq \lambda_1, g(1) \leq \lambda_2 \leq 1\},$$

Для случая (6) множество Λ определено следующим образом:

$$\Lambda = \{(\lambda_1, \lambda_2) : \frac{1}{2} \log(\sqrt{2} + 1) \leq \lambda_1 \leq 1, g(\lambda_1) \leq \lambda_2 \leq \lambda_1\},$$

где $g(\lambda_1)$ имеет следующий вид:

$$g(\lambda_1) = \begin{cases} \frac{\log \frac{1+e^{2\lambda_1}}{-1+e^{2\lambda_1}}}{2}, & \frac{\log(1+\sqrt{2})}{2} \leq \lambda_1 \leq \frac{1}{2}W(-2e^{-2}) + 1, \\ d, & \frac{1}{2}W(-2e^{-2}) + 1 \leq \lambda_1 \leq 1, \end{cases}$$

$$d = \frac{1}{2} \log\left(-\frac{W(-2e^{-2})(W(-2e^{-2}) + 2)(e^{2\lambda_1} + 1)}{4\lambda_1^2}\right).$$

График экстремальной функции

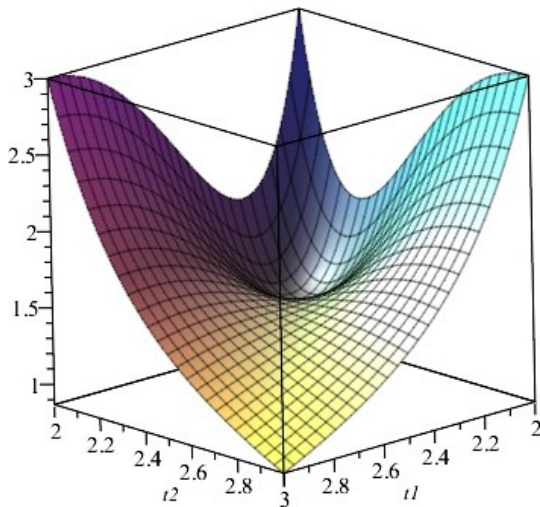


Рис.: График экстремальной функции для случая (б) при $a = 2$

График экстремальной функции

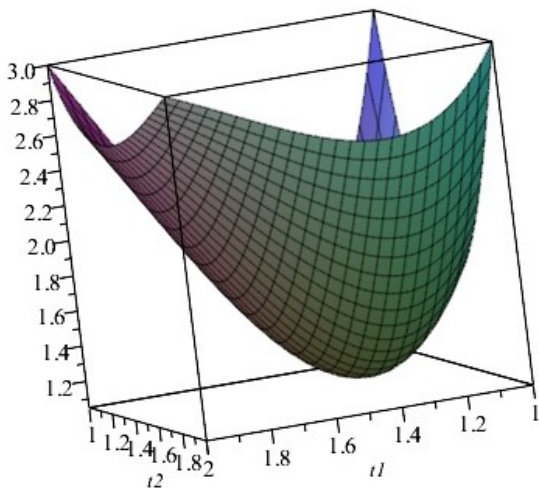


Рис.: График экстремальной функции для случая (4) при $a = 1$, $\lambda_1 = 0.5$ и $\lambda_2 = \frac{1}{2} \log\left(\frac{1+e^{2\lambda_1}}{-1+e^{2\lambda_1}}\right) \approx 0.386$

- В рамках работы были исследованы и построены в явной форме насыщенные локально D -оптимальные планы для производственной функции Кобба-Дугласа,
- Представлено аналитическое решение проблемы построения невырожденных оптимальных планов с минимальным количеством точек,
- Найдена зависимость числа и вида точек носителя D -оптимального плана от преобразований гомотетии и сдвига области планирования.